

В. А. НЕМИЛОВ, Т. А. ВИДУСОВА и В. К. НИКИТИНА

ПОВЫШЕНИЕ МЕХАНИЧЕСКИХ СВОЙСТВ СПЛАВОВ ПАЛЛАДИЙ — СЕРЕБРО — ЗОЛОТО ПУТЕМ ДОБАВКИ ЧЕТВЕРТОГО КОМПОНЕНТА

Сплавы тройной системы палладий — серебро — золото, как показало исследование В. А. Немилова, А. А. Рудницкого и Т. А. Видусовой [1], образуют непрерывную область твердых растворов, причем в этих сплавах максимальная величина твердости по Бринеллю достигает 60 кг/мм², а временное сопротивление разрыву 37 кг на кв. мм. Увеличение твердости и сопротивления разрыву в сплавах этой системы путем термической обработки невозможно, так как никаких превращений в твердом состоянии в сплавах не наблюдается.

Единственным методом увеличения прочности сплавов палладий — серебро — золото является добавка четвертого компонента, обладающего ограниченной растворимостью в основных компонентах тройных сплавов и могущего создать возможность процессов старения. А. Еделе [2] установил возможность появления старения в некоторых сплавах палладия с серебром и золотом (до 20%) при прибавлении кобальта и никеля.

Целью настоящего исследования явилось изучение процессов старения в сплавах, с возможно большим содержанием палладия, как наиболее коррозионно устойчивых, с содержанием золота 10 и 20% и добавками кобальта от 2 до 6%.

Кобальт в серебре, по данным Г. И. Петренко [3] и Г. Тамманна и В. Ольсена [4], практически совершенно не растворим. Кобальт с золотом, по данным В. Валя [5], образует эвтектическую смесь ограниченных твердых растворов кобальта в золоте и золота в кобальте. Точного определения границ твердых растворов системы произведено не было. Ориентировочно, при эвтектической температуре, золото растворяет 6% кобальта, а кобальт — около 8% золота; с понижением температуры растворимость падает.

По данным Г. Грубе и Н. Кестнера [6], кобальт с палладием образуют непрерывный ряд твердых растворов. Таким образом, процессы старения сплавов палладий — серебро — золото при добавке кобальта могут вызываться только вследствие изменения растворимости кобальта в золоте при понижении температуры.

Исследование были подвергнуты сплавы с содержанием палладия 70, 60, 55 и 40%; золота — 10 и 20%; кобальта — 2,4 и 6%, остальное — серебро.

Материалами для приготовления сплавов служили губчатые палладий и золото с содержанием примесей до 0,01%, серебро с содержанием 99,99% Ag и чистый кобальт фирмы Кальбаум.

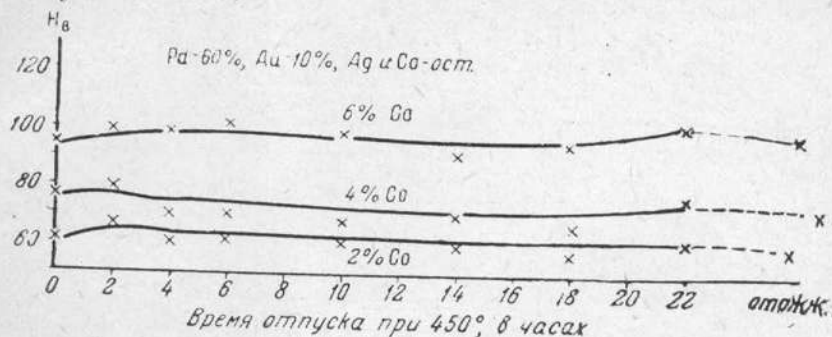
Приготовление сплавов производилось в печи высокой частоты. Сплавленным королькам придавалась форма брусков квадратного сечения,

путем ковки или обжатия на прессе, с промежуточными операциями закалки для снятия механического наклепа.

Изучение процесса старения сплавов производилось путем измерения твердости по Бринеллю в различных стадиях термической обработки.

У сплавов с содержанием палладия 40%, показавших наибольшее увеличение твердости после старения, были исследованы также временное сопротивление разрыву и удлинение.

Исследование микроструктуры сплавов интересных данных не дало, так как выделение второй фазы в процессе старения происходит в столь мелкодисперсной форме, что при микроскопическом исследовании отчетливо не улавливается.



Фиг. 1. Изменение твердости сплавов с 60% Pd и 10% Au при старении.

Исходным состоянием всех исследованных сплавов являлось состояние закаленное, для чего все сплавы закаливались, после выдержки при температуре 1150° в течение суток, в холодную воду. Старение сплавов производилось при температуре 450° в течение от 2 до 19—22 часов. Для всех сплавов также была определена твердость после отжига при 1150° в течение суток, с последующим медленным охлаждением до 600° в течение 6 суток.

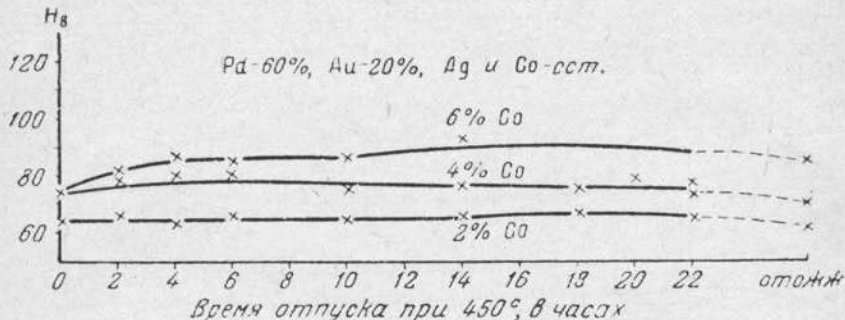
Определение твердости по Бринеллю производилось при нагрузке в 250 кг и диаметре шарика 10 мм. Результаты испытания твердости для сплавов различного состава в различных стадиях термической обработки приведены в табл. 1—3 и на диаграммах фиг. 1—5.

Таблица 1

Pd	Au	Ag	Co	Твердость в кг/мм			Отожженные	
				закаленные	старение при 450°			
					2 час.	19 час.		
70	0	28	2	70.0	60.5	—	62.0	
70	0	26	4	85.5	84.0	—	71.0	
70	0	24	5	88.0	95.5	111.0	87.0	
70	5	23	2	73.0	66.0	—	69.5	
70	5	21	4	94.0	75.0	94.5	72.5	
70	10	18	2	66.0	74.5	—	61.0	
70	10	16	4	90.0	77.0	—	68.0	
70	10	14	6	100.0	99.5	90.5	87.0	
70	20	8	2	72.0	60.0	—	58.0	
70	20	6	4	71.5	70.0	—	62.5	
70	20	4	6	76.0	66.5	72.5	69.0	

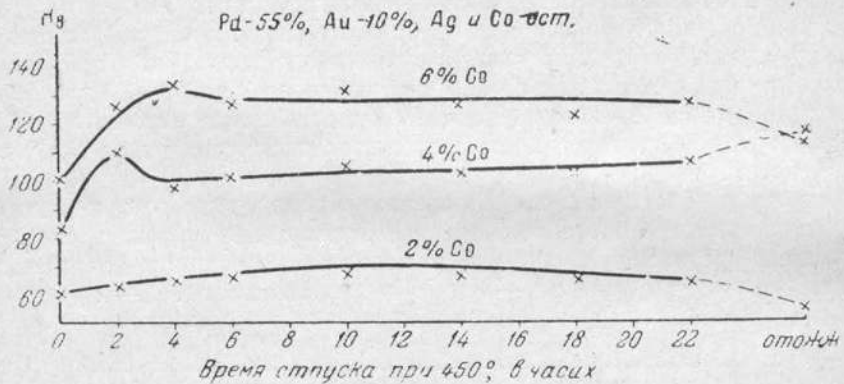
Рассмотрение данных, относящихся к сплавам с содержанием 70% палладия (табл. 1), показывает, что явлений старения в этих сплавах не наблюдается, в большинстве сплавов после отпуска при 450° происходит даже уменьшение твердости по сравнению с закаленным состоянием.

Отсутствие явлений старения в этих сплавах объясняется, повидимому, тем, что прибавляемый кобальт, вследствие наличия в сплаве большого количества палладия, растворяется полностью и при отпуске не выделяется.



Фиг. 2. Изменение твердости сплавов с 60% Pd и 20% Au при старении.

В сплавах с 60% палладия (табл. 2 и фиг. 1 и 2), явления старения также почти не наблюдается, из-за полного растворения кобальта в богатых палладием сплавах.



Фиг. 3. Изменение твердости сплавов с 55% Pd и 10% Au при старении.

В сплавах, содержащих 55% палладия, наблюдается резкое повышение твердости после отпуска при 450° , при добавке 6% кобальта как к сплавам с 10% золота, так и с 20% золота (табл. 2, фиг. 3 и 4); при 4% кобальта эффект меньше, при 2% кобальта — почти незаметен.

К сплавам с 55% палладия был применен также отпуск при 350° (табл. 3), однако эффекта старения не получилось, температура недостаточна для начала процесса старения.

Наиболее сильное увеличение твердости при отпуске наблюдалось в сплавах с 40% палладия (табл. 2 и фиг. 5 и 6). Так, сплав состава 40% палладия, 10% золота, 40% серебра и 4% кобальта после отпуска при 450° , в течение 2 часов, повышает свою твердость с 60 до 103 кг на кв. мм, т. е. на 71,5% исходной. Приблизительно такое же увеличение твер-

Таблица 2

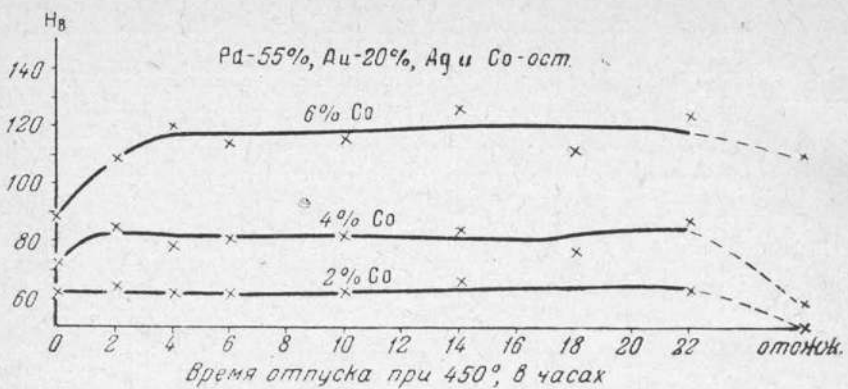
Состав в весовых %					Твердость, H_B , в кг/мм ²								
Pb	Au	Ag	Co	закаленные	старение при 450°								
					2 час.	4 час.	6 час.	8 час.	10 час.	14 час.	18 час.	22 час.	
60	10	28	2	62,5	68,5	62,0	63,0	—	64,5	60,0	57,5	62,5	59,5
60	10	26	4	78,0	81,0	70,5	71,5	—	68,5	72,0	67,5	78,5	73,0
60	10	24	6	97,0	101,0	100,5	102,5	—	99,5	92,0	96,5	104,0	99,5
60	20	18	2	65,5	66,0	63,5	66,0	—	65,0	65,0	67,0	64,0	62,0
60	20	16	4	75,0	79,5	80,5	81,0	—	75,0	76,0	75,5	73,0	70,0
60	20	14	6	75,5	81,5	87,5	84,5	—	87,0	93,0	80,0	77,0	86,0
55	10	33	2	62,5	64,0	66,0	66,0	—	67,0	67,0	65,0	64,0	54,0
55	10	31	4	84,5	110,0	98,0	102,0	—	105,0	101,5	102,0	105,0	116,0
55	10	29	6	102,5	127,5	134,5	127,0	—	131,0	127,5	122,0	126,0	111,0
55	20	23	2	62,5	64,5	62,0	62,0	—	62,5	66,0	62,5	63,0	48,0
55	20	21	4	72,0	84,5	78,0	81,5	—	82,5	84,5	77,0	88,0	59,5
55	20	19	6	89,0	109,5	120,0	114,5	—	116,0	127,0	112,5	125,0	111,5
40	10	48	2	42,0	57,0	53,0	60,0	57,0	60,5	59,5	—	—	53,5
40	10	46	4	60,5	103,0	100,0	100,0	102,0	102,0	103,5	—	—	86,0
40	10	44	6	59,5	88,0	102,0	102,0	101,0	105,0	93,0	—	—	79,5
40	20	38	2	57,5	72,5	66,5	75,0	75,0	77,5	73,0	—	—	66,0
40	20	36	4	65,0	103,0	108,0	109,0	108,0	114,0	108,0	—	—	79,5
40	20	34	6	82,0	122,5	120,0	117,0	125,0	115,0	121,0	—	—	78,0

Таблица 3

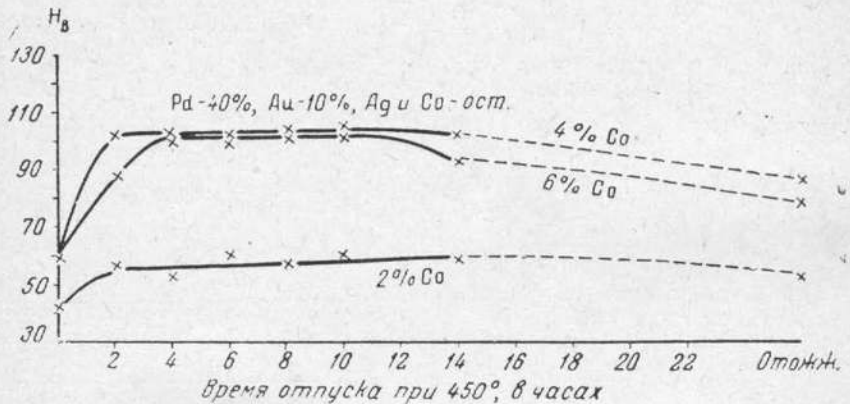
Состав весовых %				Твердость H_B , в кг/мм ²								
Pb	Au	Ag	Co	закаленные	старение при 350°							
					2 час.	4 час.	6 час.					
55	10	33	2	62,5	66,0	62,0	67,5					
55	10	31	4	84,5	82,0	93,0	86,5					
55	10	29	6	102,5	76,0	89,5	75,5					
55	20	23	2	62,5	57,5	56,5	59,5					
55	20	21	4	72,0	72,0	73,0	63,0					
55	20	19	6	89,0	94,0	97,5	98,0					

Таблица 4

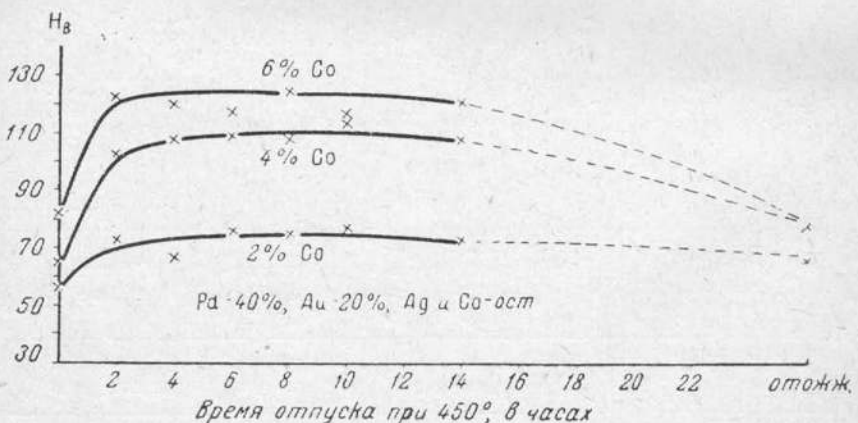
Состав весовых %				После старения при $t = 450^{\circ}$ в течение 4 час.		Закаленные		Отожженные	
Pb	Au	Ag	Co	$\delta_{B, B}$	$\delta_{B, B}$	$\delta_{B, B}$	$\delta_{B, B}$	$\delta_{B, B}$	$\delta_{B, B}$
40	10	48	2	15,0	44	14,7	32	14,5	48
40	10	45	4	24,1	38	20,3	49	19,0	38
40	10	44	6	23,8	47	18,5	26	16,9	24
40	20	38	2	18,3	34	16,8	50	17,2	42
40	20	36	4	27,7	27	23,8	54	22,5	41
40	20	34	6	29,2	21	22,4	34	22,3	25



Фиг. 4. Изменение твердости сплавов с 55% Pd и 20% Au при старении.



Фиг. 5. Изменение твердости сплавов с 40% Pd и 10% Au при старении.



Фиг. 6. Изменение твердости сплавов с 40% Pd и 20% Au при старении.

дости наблюдается у сплава с 6% кобальта и 10% золота. При содержании 2% кобальта эффект старения значительно меньше.

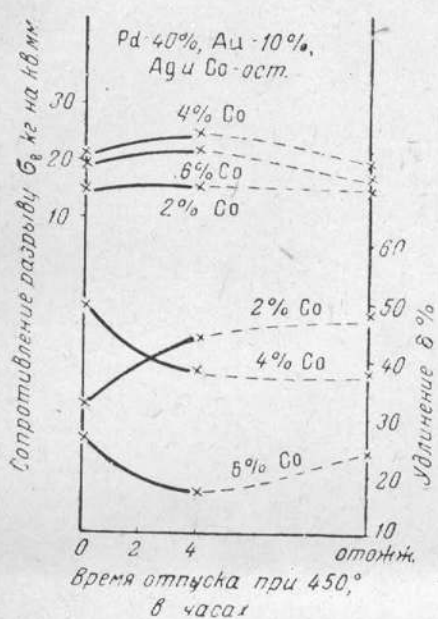
Меньшее процентное увеличение твердости (49%) наблюдается у сплава состава 40% палладия, 20% золота, 34% серебра и 6% кобальта,

но зато абсолютная величина твердости (122 кг на кв. мм) заметно больше, чем у сплава аналогичного состава, содержащего 10% золота.

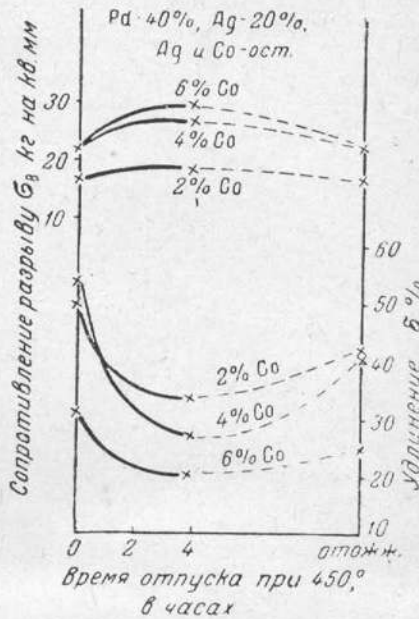
Сплавы с 40% палладия, 10 и 20% золота, содержащие 2% кобальта, хотя и обнаруживают эффект старения, но в значительно более слабой степени, чем содержащие 4 и 6% кобальта.

Максимальная твердость вследствие старения достигается при отпуске в течение 2—4 часов. Оставаясь неизменной при дальнейшем отпуске до 10—12 часов, она после этого начинает падать, постепенно приближаясь к твердости отожженных сплавов.

Из сплавов с содержанием 40% палладия, показавших наибольший эффект старения, были приготовлены проволоки диаметром 1 мм для опре-



Фиг. 7. Изменение сопротивления разрыву σ_b и удлинения $\delta\%$, при старении сплавов с 40% Pd и 10% Au.



Фиг. 8. Изменение сопротивления разрыву σ_b и удлинения $\delta\%$, при старении сплавов с 40% Pd и 20% Au.

деления временного сопротивления разрыву и удлинения в отожженном и закаленном состоянии и после старения при 450° в течение 4 часов.

Расчетная длина образцов — 50 мм. Разрыв проволок был произведен на разрывной машине Шоппера. Результаты испытаний приведены в табл. 4 и на диаграммах фиг. 7 и 8.

ВЫВОДЫ

На основании произведенного исследования процессов старения сплавов, содержащих 70, 60, 55 и 40% палладия, 10 и 20% золота и 2.4 и 6% кобальта, следует признать, что наибольший эффект старения наблюдается у сплавов, содержащих 40% палладия. У сплавов с 55% палладия эффект старения проявляется слабее, у сплавов с 60% палладия — едва заметен, при содержании 70% палладия — вообще не наблюдается. Уменьшение и исчезновение явлений старения по мере увеличения содержания палладия может быть объяснено полным растворением кобальта в богатом

палладием твердом растворе не только при высоких температурах, но и при понижении температуры до комнатной. Установление точной границы полной растворимости кобальта может быть произведено лишь путем изучения диаграмм состояний палладий — серебро — кобальт и палладий — серебро — золото — кобальт.

ЛИТЕРАТУРА

1. Немилов В. А., Рудницкий А. А. и Видусова Т. А. Изв. Сектора платины ИОНХ АН СССР, **20** (1947).
 2. Fedele A. Z. f. Metallkunde, **30**, № 5, 458 (1938).
 3. Петренко Г. И. Z. f. anorg. u. allgem. Chem. **53**, 215 (1907).
 4. Tammann G. u. Oelsen W. Z. f. anorg. u. allgem. Chem. **186**, 279 (1930).
 5. Wahl W. Z. f. anorg. u. allg. Chem., **66**, 60 (1910).
 6. Grubbe u. Kästner H. Z. f. Metallkunde, **42**, № 3 (1936).
-